### RISPOSTA IN FREQUENZA

Risposta esponenziale

Risposta sinusoidale

Risposta a segnali dotati di serie o trasformata di Fourier

Identificazione della risposta in frequenza

Diagrammi di Bode

Diagrammi polari

Azione filtrante dei sistemi dinamici

### RISPOSTA ESPONENZIALE

## Esistenza di un'uscita esponenziale

ullet Sistema SISO di ordine n

$$\dot{x}(t) = Ax(t) + Bu(t)$$
$$y(t) = Cx(t) + Du(t)$$

\* funzione di trasferimento

$$G(s) = C(sI - A)^{-1}B + D$$

• Ingresso esponenziale

$$u(t) = \hat{u}(t) = e^{\lambda t}$$
  $t \ge 0$ 

- $\star$  movimento forzato dell'uscita: combinazione lineare dei modi propri e di un contributo esponenziale associato alla trasformata dell'ingresso  $1/(s-\lambda)$
- \* movimento libero dell'uscita: un particolare x(0) potrebbe annullare completamente i contributi dovuti ai modi  $(x(t) = x(0)e^{\lambda t})$

$$\lambda x(0)e^{\lambda t} = Ax(0)e^{\lambda t} + Be^{\lambda t}$$

$$\downarrow \qquad \qquad \qquad \downarrow$$

$$\hat{x}(0) = (\lambda I - A)^{-1}B$$

$$x(t) = \hat{x}(t) = (\lambda I - A)^{-1} B e^{\lambda t} \qquad t \ge 0$$
  
$$y(t) = \hat{y}(t) = \left[ C(\lambda I - A)^{-1} B + D \right] e^{\lambda t} = G(\lambda) e^{\lambda t} \qquad t \ge 0$$

\* sistema asintoticamente stabile

$$\lim_{t \to \infty} \left( y(t) - \hat{y}(t) \right) = 0$$

### RISPOSTA SINUSOIDALE

### Esistenza di un'uscita sinusoidale

• Ingresso sinusoidale

$$u(t) = \tilde{u}(t) = \sin(\omega t) = \operatorname{Im}(e^{j\omega t})$$
  $t \ge 0$ 

 $\star \hat{u}(t) = e^{j\omega t} (A \text{ non ha autovalori in } \pm j\omega)$ 

$$\hat{x}(0) = (j\omega I - A)^{-1}B$$

$$\hat{x}(t) = (j\omega I - A)^{-1}Be^{j\omega t} \qquad t \ge 0$$

$$\hat{y}(t) = G(j\omega)e^{j\omega t} \qquad t \ge 0$$

$$\downarrow \downarrow$$

$$\tilde{x}(t) = \operatorname{Im}(\hat{x}(t))$$
  $t \ge 0$   
 $\tilde{y}(t) = \operatorname{Im}(\hat{y}(t)) = |G(j\omega)| \sin(\omega t + \arg G(j\omega))$   $t \ge 0$ 

- Risposta sinusoidale (G(s) non ha autovalori in  $\pm j\omega_0$ )
  - \* ingresso

$$\tilde{u}(t) = U\sin\left(\omega_0 t + \varphi\right) \qquad t \ge 0$$

 $\star \exists \hat{x}(0)$ : uscita

$$\tilde{y}(t) = Y \sin(\omega_0 t + \psi)$$
  $t \ge 0$  
$$Y = |G(j\omega_0)|U \qquad \psi = \varphi + \arg G(j\omega_0)$$

\* sistema asintoticamente stabile

$$\lim_{t \to \infty} \left( y(t) - \tilde{y}(t) \right) = 0$$



 $\star$  conoscenza di modulo e fase di  $G(j\omega)$  al variare di  $\omega \Rightarrow$  determinazione del comportamento (asintotico) del sistema nei riguardi di ingressi sinusoidali di diversa pulsazione

#### • Esempio: circuito elettrico

\* movimenti 
$$(t_0 = 0, u(t) = U\sin(\omega_0 t), t \ge 0, x(0) = x_0)$$

$$x(t) = e^{-t/RC}x_0 + \frac{U\omega_0 RC}{1 + \omega_0^2 R^2 C^2} e^{-t/RC} + \frac{U}{\sqrt{1 + \omega_0^2 R^2 C^2}} \sin(\omega_0 t - \arctan(\omega_0 RC))$$

$$y(t) = -e^{-t/RC}x_0 - \frac{U\omega_0 RC}{1 + \omega_0^2 R^2 C^2}e^{-t/RC} + \frac{U\omega_0 RC}{\sqrt{1 + \omega_0^2 R^2 C^2}}\cos(\omega_0 t - \arctan(\omega_0 RC))$$

$$\star \ x(2\pi/\omega_0) = x_0$$

$$x_0 = e^{-2\pi/\omega_0 RC} x_0 + \frac{U\omega_0 RC}{1 + \omega_0^2 R^2 C^2} e^{-2\pi/\omega_0 RC} - \frac{U\omega_0 RC}{1 + \omega_0^2 R^2 C^2}$$

$$x_0 = -\frac{U\omega_0 RC}{1 + \omega_0^2 R^2 C^2}$$

$$\tilde{y}(t) = \frac{U\omega_0 RC}{\sqrt{1 + \omega_0^2 R^2 C^2}} \cos(\omega_0 t - \arctan(\omega_0 RC))$$

\* in maniera alternativa

$$G(s) = \frac{RCs}{1 + RCs}$$



$$|G(j\omega_0)| = \frac{\omega_0 RC}{\sqrt{1 + \omega_0^2 R^2 C^2}}$$
  $\arg G(j\omega_0) = \frac{\pi}{2} - \arctan(\omega_0 RC)$ 

- $\star$  attenuazione di sinusoidi a bassa pulsazione (bloccaggio a  $\omega=0)$
- $\star$  passaggio praticamente inalterato di sinusoidi a pulsazione elevata ( $|G(j\omega)| \to 1$ ,  $\arg G(j\omega) \to 0$  per  $\omega \to \infty$ )

### Risposta in frequenza: definizione e proprietà

• Risposta in frequenza ( $\omega \ge 0$ )

$$G(j\omega) = C(j\omega I - A)^{-1}B + D$$

 $\star$  restrizione di G(s) ai punti del semiasse immaginario positivo (escluso eventuali poli di G(s) sull'asse immaginario)

$$G(-j\omega) = \bar{G}(j\omega)$$

\* ritardo di tempo

$$G(j\omega) = e^{-j\omega\tau} \qquad \omega \ge 0$$

$$\tilde{u}(t) = U\sin(\omega_0 t + \varphi)$$
  $t \ge 0$   
 $y(t) = U\sin(\omega_0 t - \omega_o \tau + \varphi)$   $t \ge \tau$ 

### RISPOSTA A SEGNALI DOTATI DI SERIE O TRASFORMATA DI FOURIER

• Effetto della singola armonica (principio di sovrapposizione degli effetti per sistemi lineari e stazionari)

### Segnali sviluppabili in serie di Fourier

• Ingresso periodico  $\tilde{u}(t+T) = \tilde{u}(t), \forall t, T > 0$ 

$$\tilde{u}(t) = \sum_{n=-\infty}^{+\infty} U_n e^{jn\omega_0 t}$$
  $\omega_0 = 2\pi/T$ 

 $\star U_n$ : contributo dell'armonica

•  $\exists x_0$ : uscita periodica  $(G(s) \text{ senza poli in } \pm jn\omega_0)$ 

$$\tilde{y}(t) = \sum_{n = -\infty}^{+\infty} Y_n e^{jn\omega_0 t} \qquad t \ge t_0$$
$$Y_n = G(jn\omega_0)U_n$$

\* sistema asintoticamente stabile

$$\lim_{t \to \infty} \left( y(t) - \tilde{y}(t) \right) = 0$$

particolarmente utile se  $t_0 \to -\infty$ 

 $\star$  la n-esima armonica all'ingresso subisce un'amplificazione pari a  $|G(jn\omega_0)|$  e uno sfasamento angolare pari ad  ${\rm arg}G(jn\omega_0)$ 

• Esempio: circuito elettrico

$$\tilde{u}(t) = \begin{cases} 0 & -T/2 \le t < -T/4 \\ V & -T/4 \le t < T/4 \\ 0 & T/4 \le t < T/2 \end{cases}$$

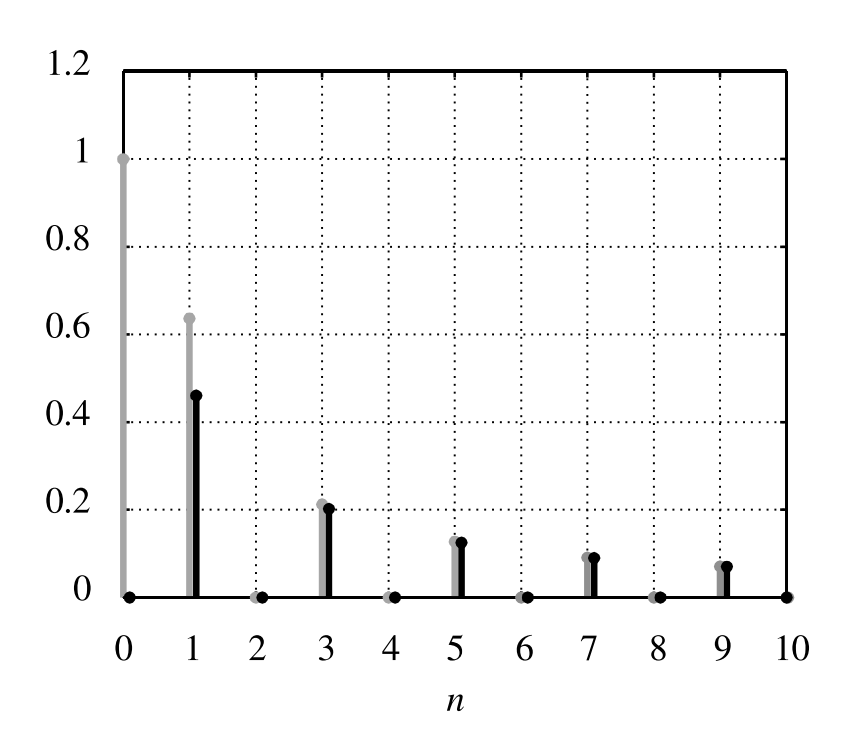
\* armoniche

$$U_0 = \frac{V}{2}$$
  $U_n = \frac{V}{2} \frac{\sin(n\pi/2)}{n\pi/2}$   $n = \dots, -2, -1, 1, 2, \dots$ 

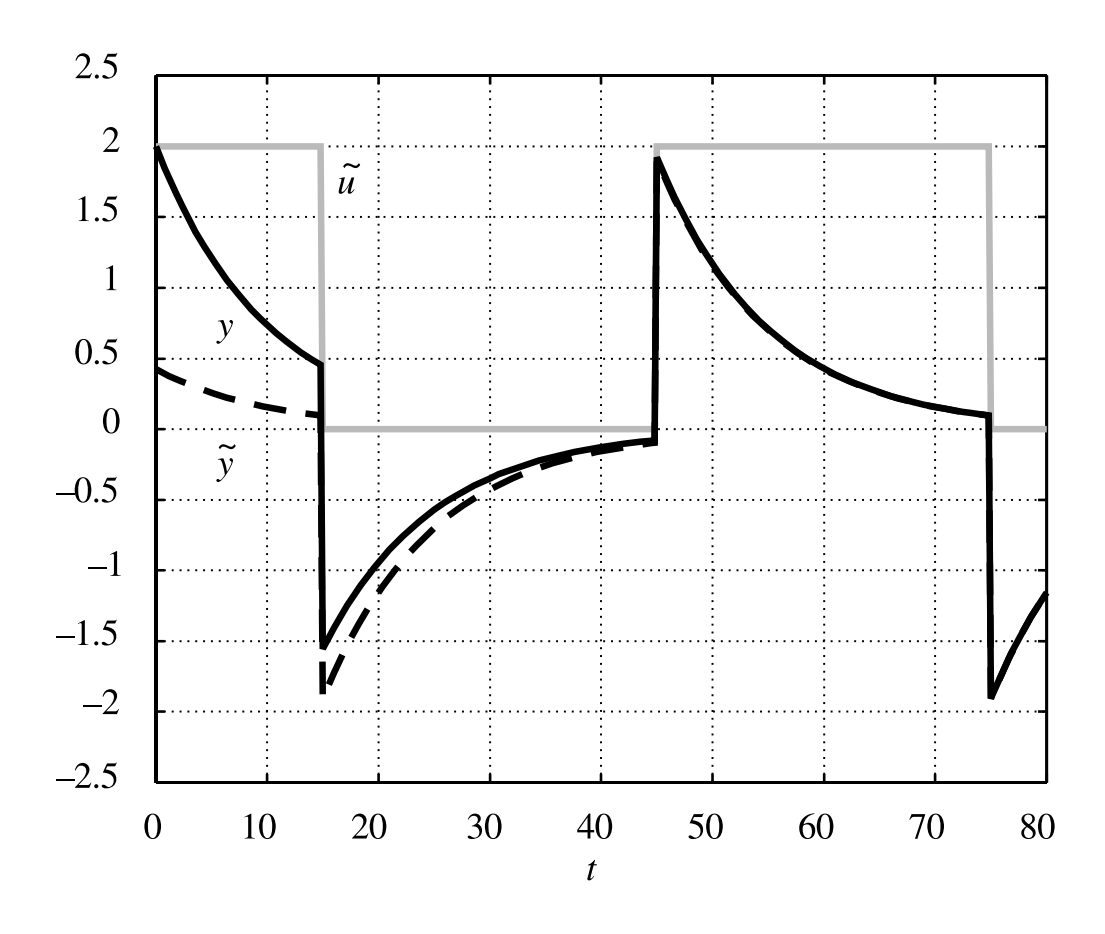
 $\star$  spettro dell'uscita (periodica:  $\omega_0 = 2\pi/T$ )

$$Y_0 = 0$$
 
$$Y_n = \frac{jn\omega_0 RC}{1 + jn\omega_0 RC} \frac{V}{2} \frac{\sin(n\pi/2)}{n\pi/2} \quad n = \dots, -2, -1, 1, 2, \dots$$

 $\star\,$  spettro dell'ingresso (in grigio) e dell'uscita (in nero) per  $RC=10,\,V=2,\,T=60$ 



## ⋆ andamento dell'ingresso e dell'uscita



### Segnali dotati di trasformata di Fourier

• Ingresso  $\tilde{u}$  dotato di trasformata  $U(j\omega) = \mathcal{F}[\tilde{u}(t)]$ 

$$\tilde{u}(t) = \frac{1}{2\pi} \int_{-\infty}^{+\infty} U(j\omega) e^{j\omega t} d\omega$$

 $\star$  infinità non numerabile di armoniche, ognuna moltiplicata per il coefficiente  $U(j\omega) \Rightarrow$  proprietà di linearità



•  $\exists x_0$ : uscita periodica  $(G(s) \text{ senza poli in } \pm j\omega_0)$ 

$$\tilde{y}(t) = \frac{1}{2\pi} \int_{-\infty}^{+\infty} Y(j\omega) e^{j\omega t} d\omega \qquad t \ge t_0$$
$$Y(j\omega) = G(j\omega)U(j\omega)$$

\* sistema asintoticamente stabile

$$\lim_{t \to \infty} \left( y(t) - \tilde{y}(t) \right) = 0$$

particolarmente utile se  $t_0 \to -\infty$  (trasformata di Fourier della componente forzata dell'uscita)

• Esempio: sistema massa-molla

$$G(s) = \frac{1}{Ms^2 + hs + k}$$

 $\star$  ingresso ( $x_0 = 0$ )

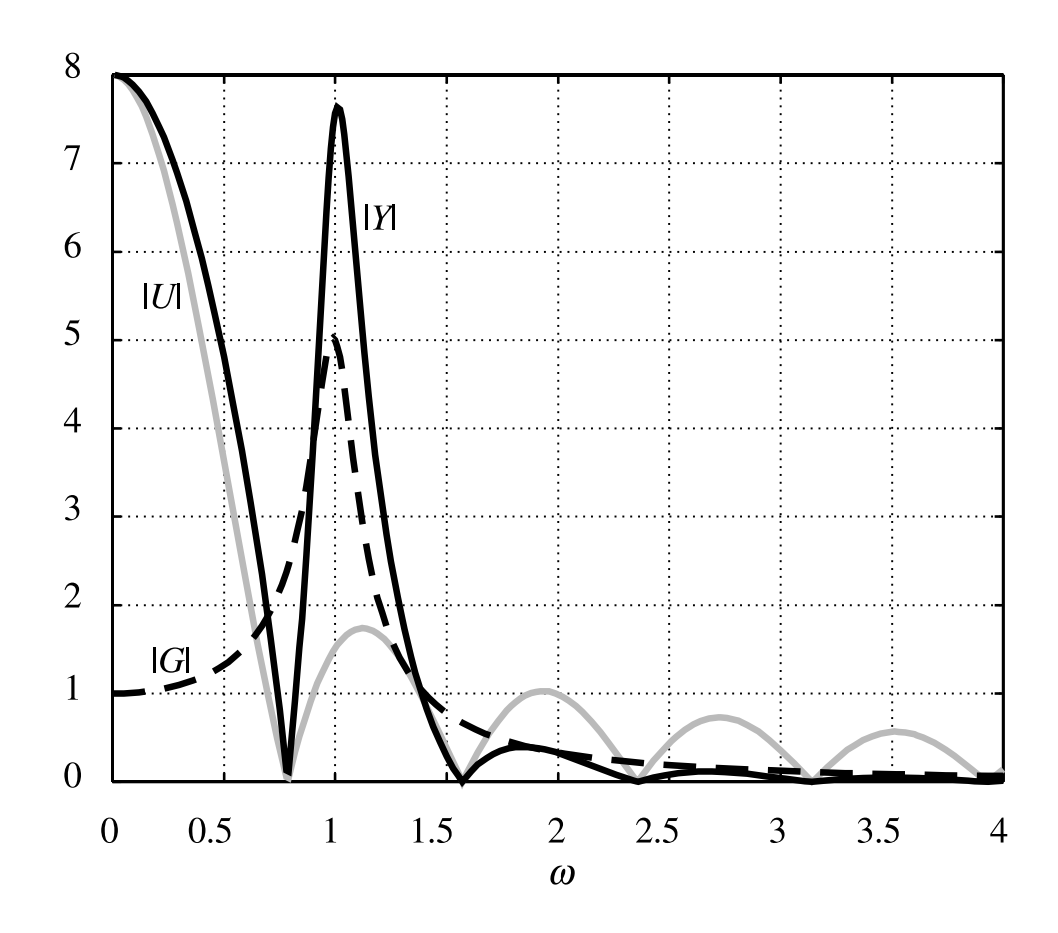
$$\tilde{u}(t) = \begin{cases} 1 & 0 \le t < T \\ 0 & \text{altrove} \end{cases}$$

$$U(j\omega) = e^{-j\omega T/2} T \frac{\sin(\omega T/2)}{\omega T/2}$$
$$|U(j\omega)| = T \frac{|\sin(\omega T/2)|}{\omega T/2}$$

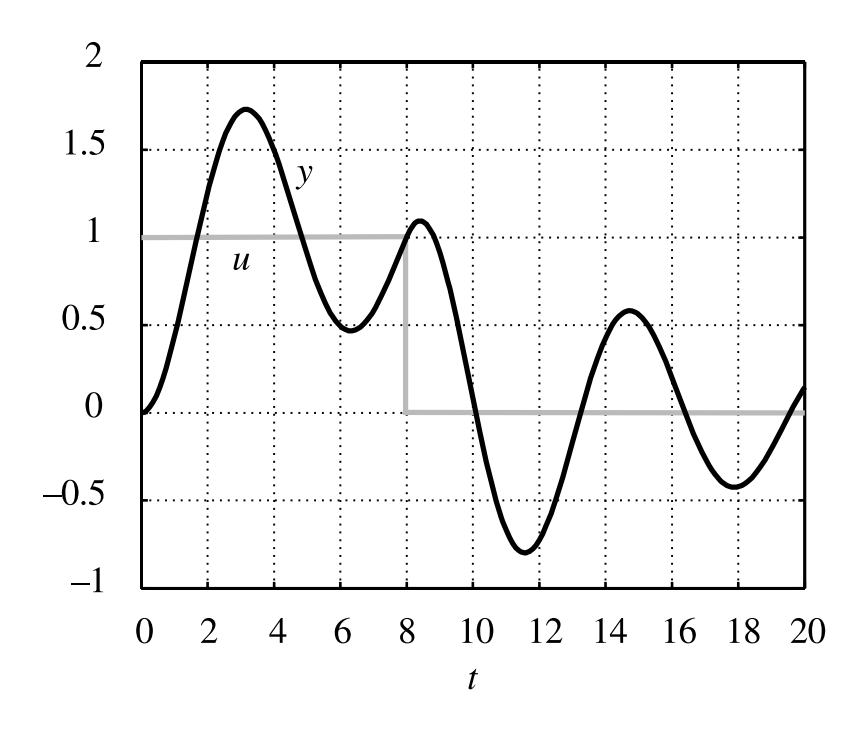
⋆ spettro dell'uscita

$$Y(j\omega) = G(j\omega)U(j\omega) = \frac{1}{k - M\omega^2 + jh\omega} e^{-j\omega T/2} T \frac{\sin(\omega T/2)}{\omega T/2}$$
$$|Y(j\omega)| = \frac{1}{\sqrt{(k - M\omega^2)^2 + h^2\omega^2}} T \frac{|\sin(\omega T/2)|}{\omega T/2}$$

 $\star$  spettro dell'ingresso (in grigio) e dell'uscita (in nero) per  $k=1,\,M=1,\,h=0.2,\,T=8$ : fenomeno di risonanza



## ⋆ andamento dell'ingresso e dell'uscita



# IDENTIFICAZIONE DELLA RISPOSTA IN FREQUENZA

- Determinazione a partire dalla rilevazione di misure sperimentali
  - \* sistemi SISO lineari, stazionari e asintoticamente stabili
- Esperimento
  - $\star$  ingresso  $u(t) = U \sin(\omega_0 t + \varphi)$
  - \* attesa tempo sino a regime
  - \* misura fase e ampiezza sinusoide in uscita



- \* modulo = rapporto tra ampiezze, fase = differenza tra fasi
- $\star$  ...ingressi a diverse pulsazioni  $\Rightarrow$  tecniche di interpolazione
- Segnali di ingresso "ricchi" di armoniche ⇒ uso di filtri sulle armoniche di uscita

### **DIAGRAMMI DI BODE**

- Strumento efficace per la rappresentazione grafica della risposta in frequenza (sistemi SISO)
  - \* diagramma del modulo
  - \* diagramma della fase
  - \* uso di scala logaritmica in base dieci per l'ascissa ( $\omega$ )  $\Rightarrow$  decade = intervallo tra due pulsazioni tra loro in rapporto pari a dieci
- Forma fattorizzata della funzione di trasferimento

$$G(s) = \frac{\mu \prod_{i} (1 + \tau_{i} s) \prod_{i} (1 + 2\zeta_{i} s / \alpha_{ni} + s^{2} / \alpha_{ni}^{2})}{s^{g} \prod_{i} (1 + T_{i} s) \prod_{i} (1 + 2\xi_{i} s / \omega_{ni} + s^{2} / \omega_{ni})}$$

\* risposta in frequenza

$$G(j\omega) = \frac{\mu \prod_{i} (1 + j\omega\tau_{i}) \prod_{i} (1 + 2j\zeta_{i}\omega/\alpha_{ni} - \omega^{2}/\alpha_{ni}^{2})}{(j\omega)^{g} \prod_{i} (1 + j\omega T_{i}) \prod_{i} (1 + 2j\xi_{i}\omega/\omega_{ni} - \omega^{2}/\omega_{ni})}$$

### Diagramma del modulo

• Ordinata: valore del modulo espresso in decibel, in scala lineare

$$|G(j\omega)|_{\text{dB}} = 20\log|G(j\omega)|$$

$$= 20\log|\mu| - 20g\log|j\omega| + \sum_{i} 20\log|1 + j\omega\tau_{i}|$$

$$+ \sum_{i} 20\log|1 + 2j\zeta_{i}\omega/\alpha_{ni} - \omega^{2}/\alpha_{ni}^{2}|$$

$$- \sum_{i} 20\log|1 + j\omega T_{1}|$$

$$- \sum_{i} 20\log|1 + 2j\xi_{i}\omega/\omega_{ni} - \omega^{2}/\omega_{ni}^{2}|$$

- \* somma dei vari termini (contributi dei fattori corrispondenti agli zeri = contributi dei poli cambiati di segno)
- Termini fondamentali

$$G_a(s) = \mu$$

$$G_b(s) = \frac{1}{s}$$

$$G_c(s) = \frac{1}{1 + Ts}$$

$$G_d(s) = \frac{1}{1 + 2\xi s/\omega_n + s^2/\omega_n^2}$$

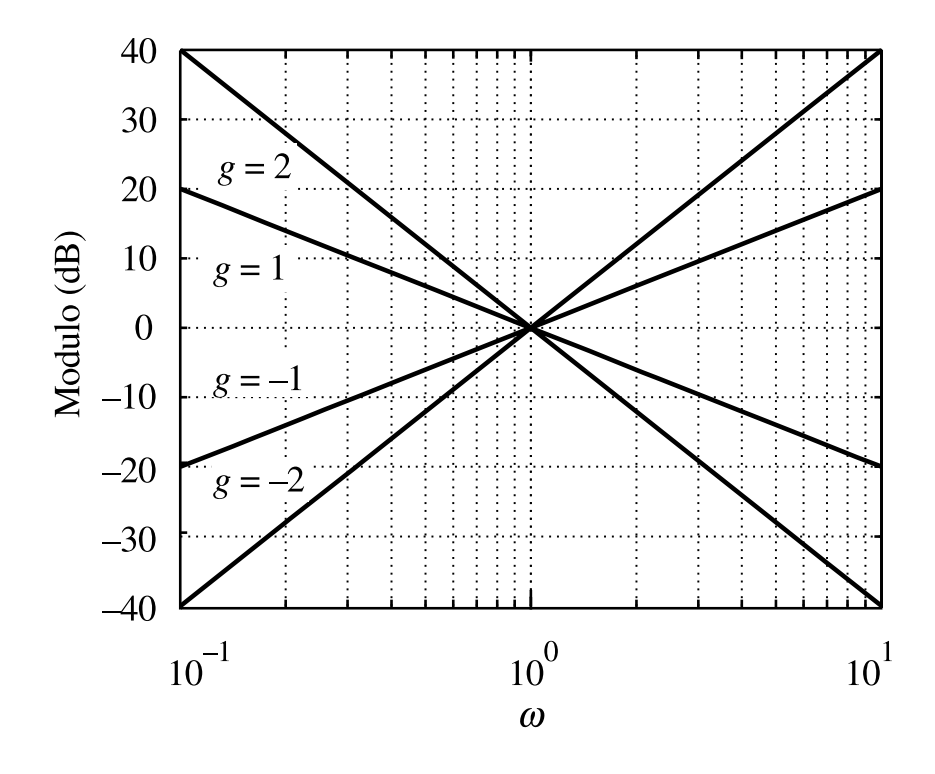
\* diagrammi asintotici (andamento qualitativo)

• Diagramma del modulo di  $G_a(j\omega)$ 

$$|G_a(j\omega)|_{\mathrm{dB}} = 20\log|\mu|$$

- $\star$  retta parallela all'asse delle  $\omega$ , con ordinata positiva ( $|\mu|>1$ ), negativa ( $|\mu|<1$ ) o nulla ( $|\mu|=1$ )
- ullet Diagramma del modulo di  $G_b(j\omega)$

$$|G_b(j\omega)|_{\mathrm{dB}} = 20 \log \left| \frac{1}{j\omega} \right| = -20 \log \omega$$

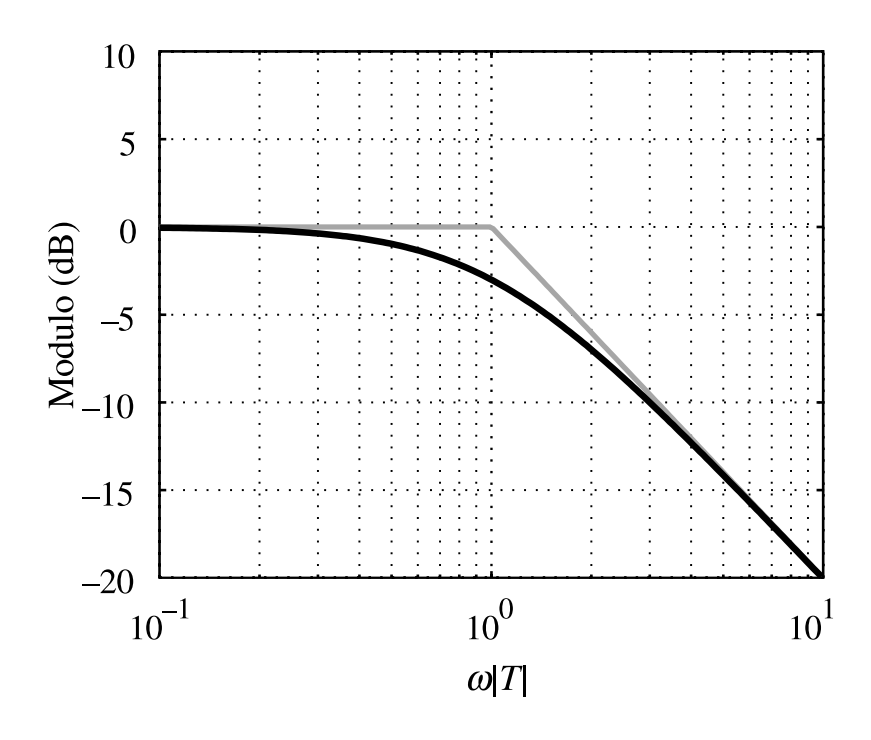


• Diagramma del modulo di  $G_c(j\omega)$ 

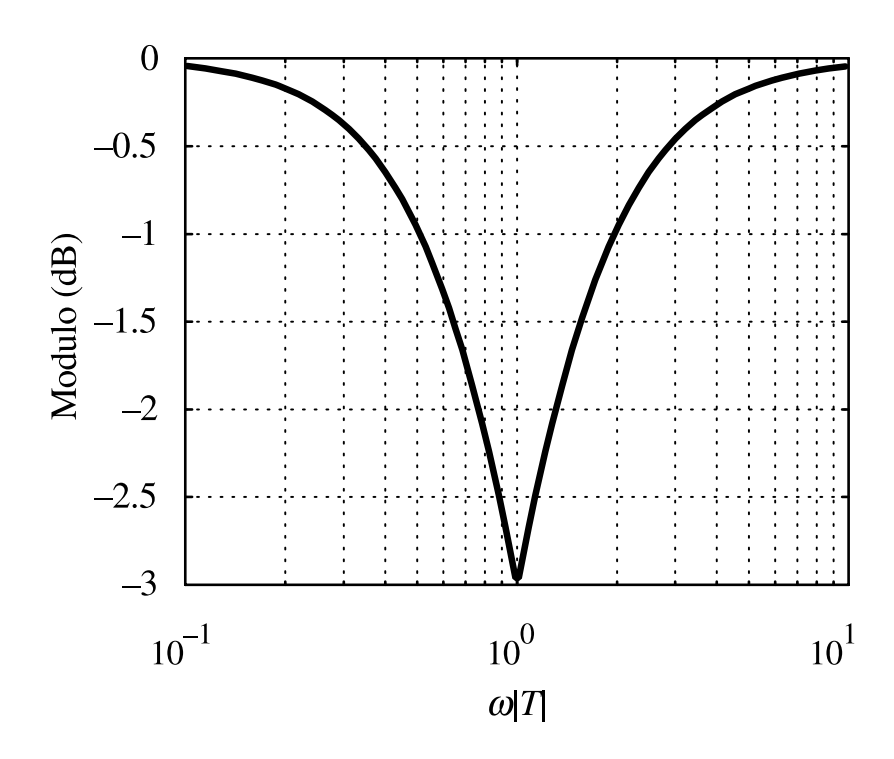
$$|G_c(j\omega)|_{\mathrm{dB}} = 20\log\left|\frac{1}{1+j\omega T}\right| = -20\log\sqrt{1+\omega^2 T^2}$$

⋆ diagramma asintotico (in grigio)

$$|G_c(j\omega)|_{\mathrm{dB}} \simeq \begin{cases} -20\mathrm{log}1 = 0 & \omega \ll 1/|T| \\ -20\mathrm{log}\omega|T| & \omega \gg 1/|T| \end{cases}$$

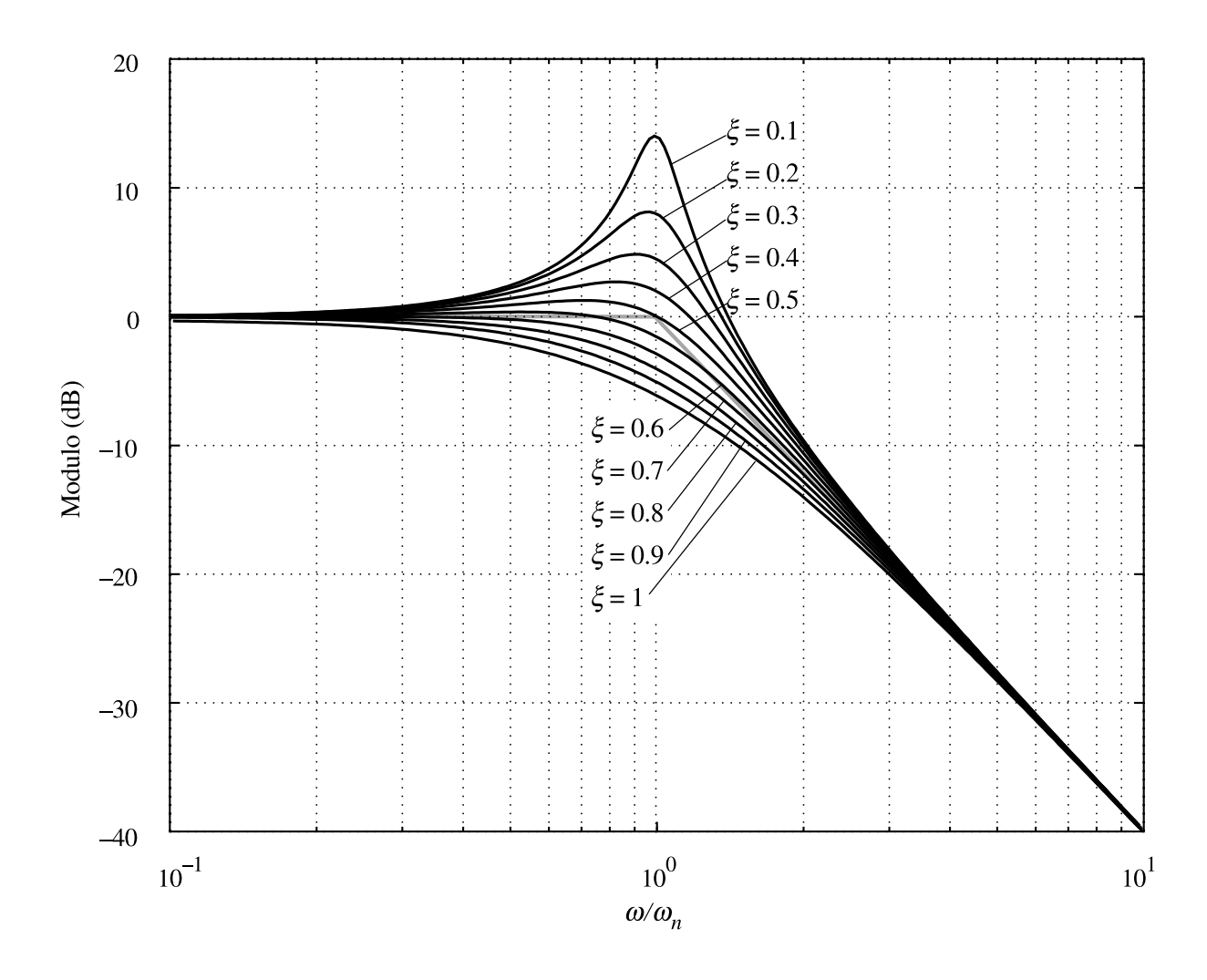


# $\star\,$ diagramma dell'errore $E_c(\omega)$



• Diagramma del modulo di  $G_d(j\omega)$ 

$$|G_d(j\omega)|_{dB} = 20\log \left| \frac{1}{1 + 2j\xi\omega/\omega_n - \omega^2/\omega_n^2} \right|$$
$$= -20\log\sqrt{(1 - \omega^2/\omega_n^2)^2 + 4\xi^2\omega^2/\omega_n^2}$$



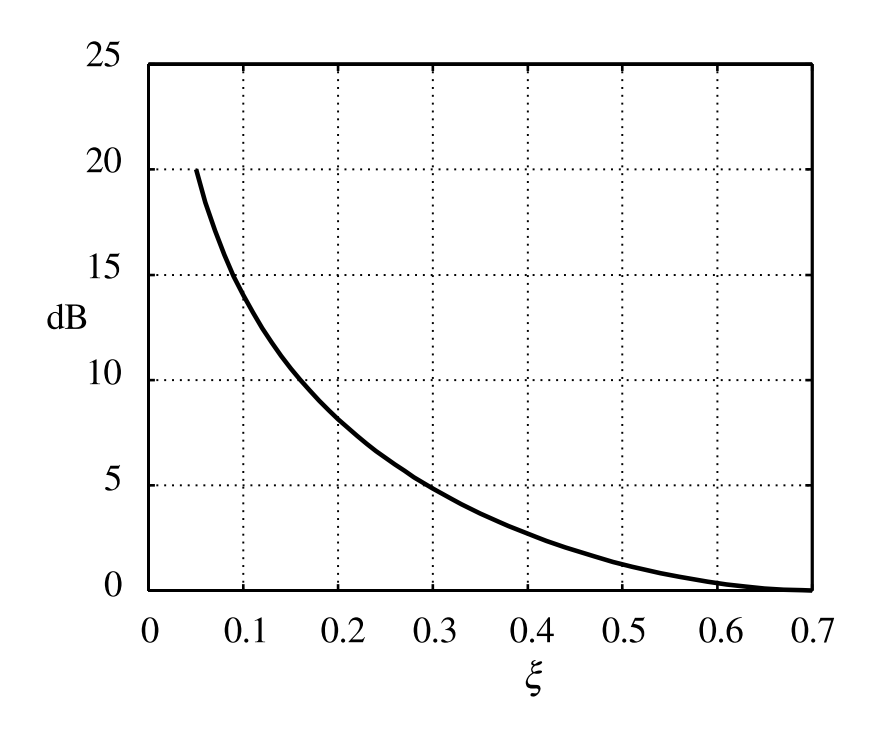
★ in corrispondenza della pulsazione di risonanza

$$\omega_r = \omega_n \sqrt{1 - 2\xi^2}$$

 $\downarrow \downarrow$ 

 $\star$  picco di risonanza (infinito per  $\xi = 0$ )

$$|G_d(j\omega_r)| = \frac{1}{2|\xi|\sqrt{1-\xi^2}}$$

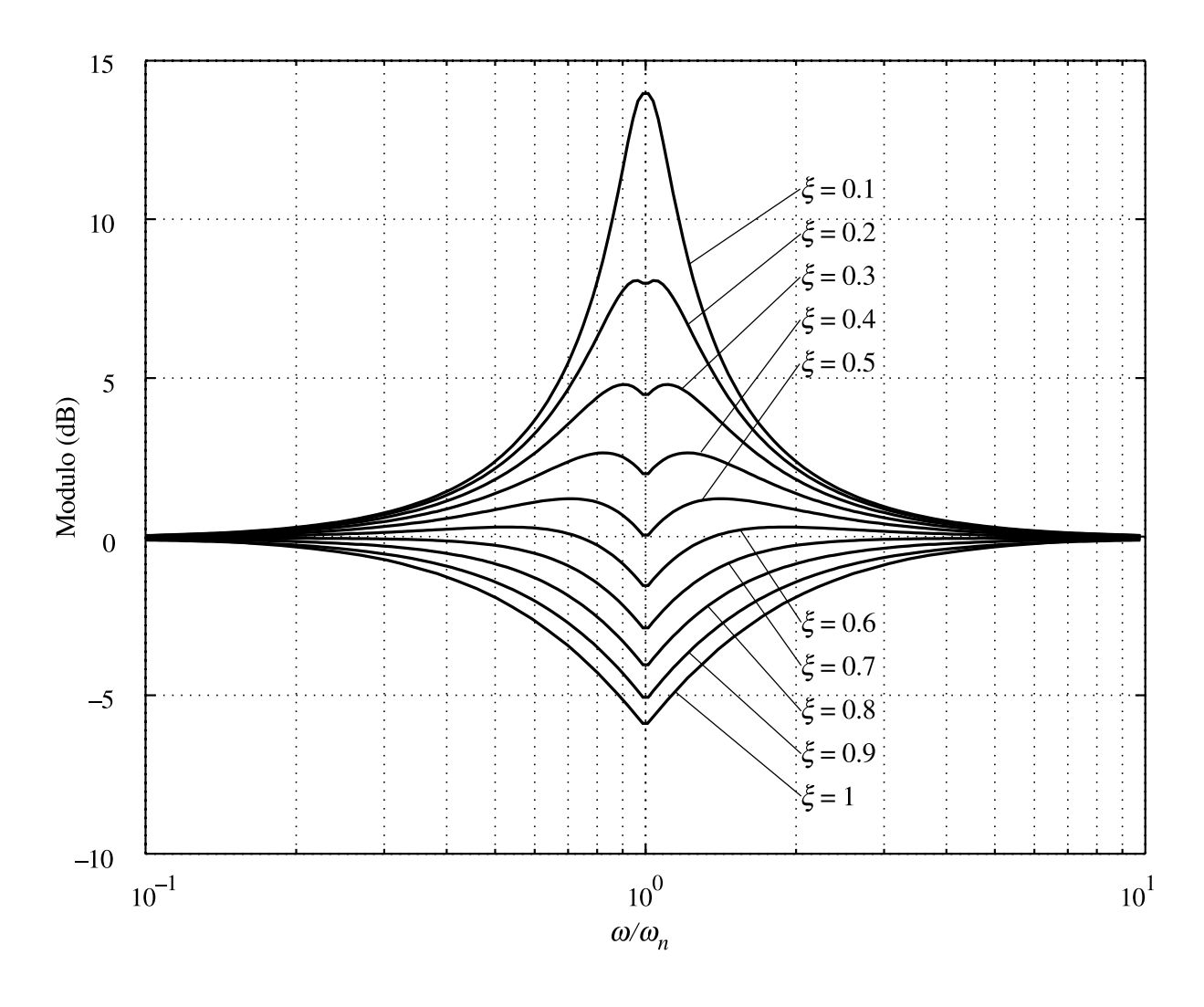


$$|G_d(j\omega_n)| = \frac{1}{2|\xi|} \implies |G_d(j\omega_n)|_{dB} = 0, |\xi| = 0.5$$

### \* diagramma asintotico

$$|G_d(j\omega)|_{\mathrm{dB}} \simeq \begin{cases} -20\mathrm{log}1 = 0 & \omega \ll \omega_n \\ -40\mathrm{log}(\omega/\omega_n) & \omega \gg \omega_n \end{cases}$$

### $\star$ diagramma dell'errore $E_d(\omega)$



- Tracciamento del diagramma asintotico del modulo
  - ⋆ somma dei diagrammi associati ai singoli fattori
  - \* tracciamento diretto

si parte dai fattori  $\mu$  e  $1/(j\omega)^g$  (pendenza -g e in  $\omega=1$  il prolungamento assume il valore  $20\log|\mu|$ )

alle pulsazioni  $1/|\tau_i|$  o  $1/|T_i|$  la pendenza aumenta o diminuisce di un numero di unità pari alla molteplicità dello zero o del polo

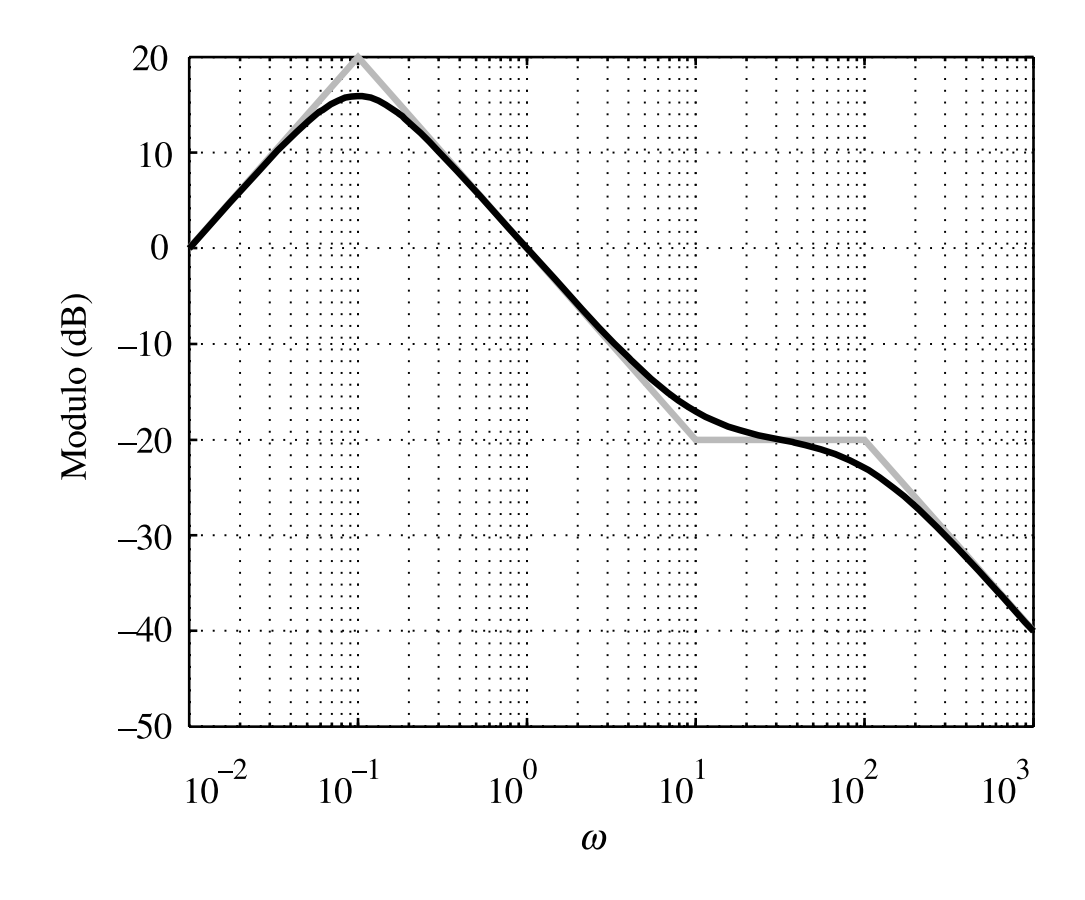
alle pulsazioni naturali  $\alpha_{ni}$  o  $\omega_{ni}$  la pendenza aumenta o diminuisce di un numero di unità pari al doppio della molteplicità dello zero o del polo

diagramma esatto ottenuto apportando le correzioni

- ⋆ poli o zeri vicini in frequenza
- $\star$  pendenza del diagramma asintotico per  $\omega \to \infty$  = grado relativo col segno cambiato della funzione di trasferimento (negativa per sistemi strettamente propri, nulla per sistemi propri)

### • Esempio

$$G(s) = \frac{100s(1 - 0.1s)}{(1 + 16s + 100s^2)(1 + 0.01s)}$$



### Diagramma della fase

• Ordinata: valore della fase espressa in gradi o radianti

$$\arg G(j\omega) = \arg \mu - g \arg(j\omega) + \sum_{i} \arg(1 + j\omega\tau_{i})$$

$$+ \sum_{i} \arg(1 + 2j\zeta_{i}\omega/\alpha_{ni} - \omega^{2}/\alpha_{ni}^{2})$$

$$- \sum_{i} \arg(1 + j\omega T_{i})$$

$$- \arg(1 + 2j\xi_{i}\omega/\omega_{ni} - \omega^{2}/\omega_{ni}^{2})$$

\* somma dei vari termini fondamentali (convenzione di considerare valori in modulo non superiori a 180°)

• Diagramma della fase di  $G_a(j\omega)$ 

$$\arg G_a(j\omega) = \arg \mu = \begin{cases} 0^{\circ} & \mu > 0 \\ -180^{\circ} & \mu < 0 \end{cases}$$

- $\star\,$ retta parallela all'asse delle  $\omega,$  con ordinata  $0\,^{\circ}$  o  $-180\,^{\circ}$
- Diagramma della fase di  $G_b(j\omega)$

$$\arg G_b(j\omega) = \arg\left(\frac{1}{j\omega}\right) = -90^{\circ}$$

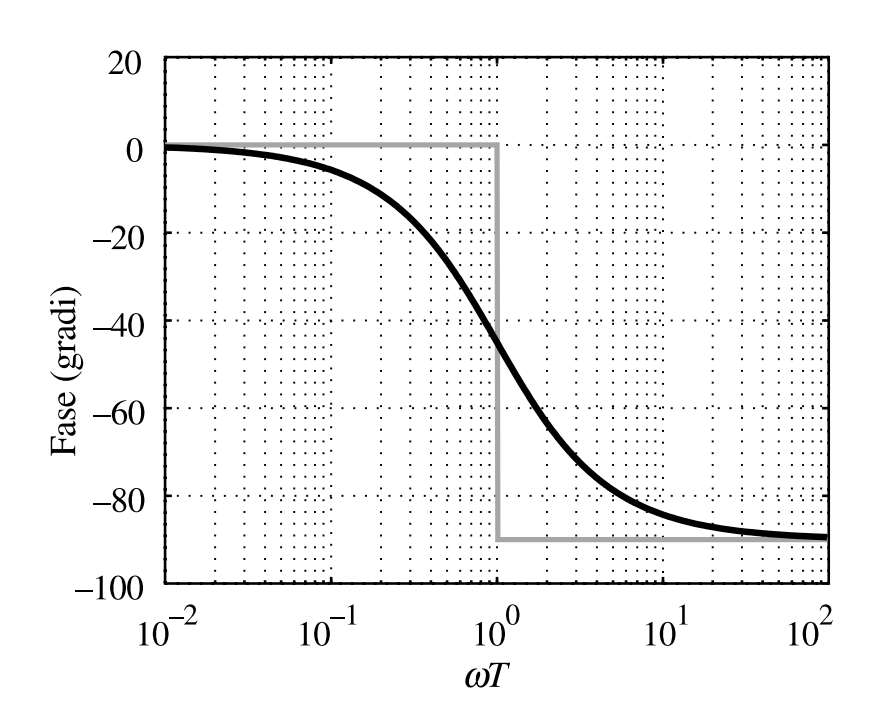
 $\star$  retta parallela all'asse delle  $\omega$ , con ordinata  $-g90^{\circ}$  (polo: ritardo di fase, zero: anticipo di fase)

• Diagramma della fase di  $G_c(j\omega)$ 

$$\arg G_c(j\omega) = -\arg(1+j\omega T) = -\arctan(\omega T)$$

⋆ diagramma asintotico (in grigio)

$$\arg G_c(j\omega) \simeq \begin{cases} -\arg(1) = 0^{\circ} & \omega \ll 1/|T| \\ -\arg(j\omega T) = \begin{cases} -90^{\circ} & T > 0 \\ +90^{\circ} & T < 0 \end{cases} \qquad \omega \gg 1/|T|$$



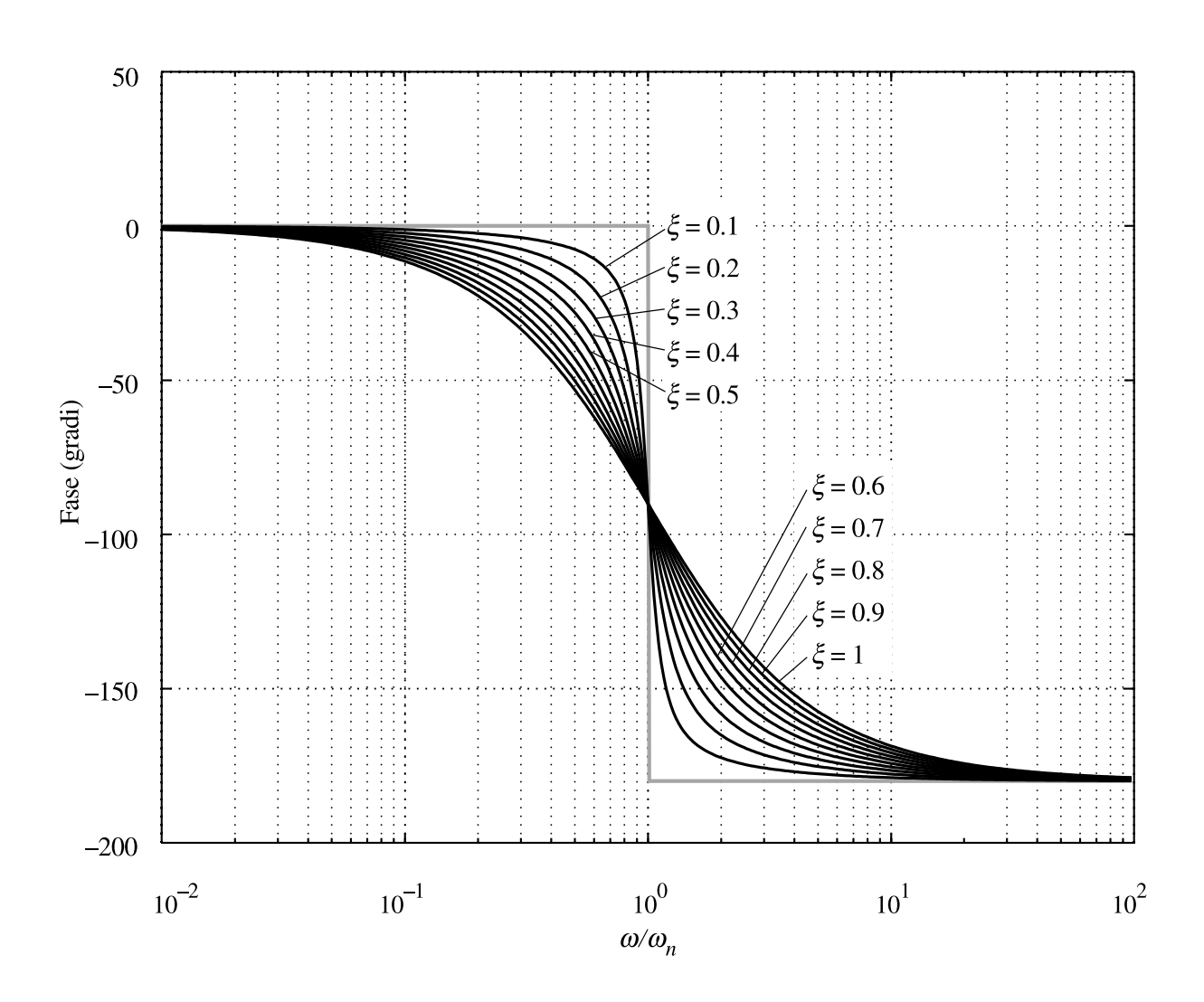
• Diagramma della fase di  $G_d(j\omega)$ 

$$\arg G_d(j\omega) = -\arg\left(1 + 2j\xi\omega/\omega_n - \omega^2/\omega_n^2\right) = -\arctan\frac{2\xi\omega/\omega_n}{1 - \omega^2/\omega_n^2}$$

$$\star \xi = 0 \Rightarrow G_d(j\omega) = 1/(1 - \omega^2/\omega_n^2)$$

⋆ diagramma asintotico (in grigio)

$$\arg G_d(j\omega) \simeq \begin{cases} -\arg(1) = 0^{\circ} & \omega \ll \omega_n \\ -\arg(-\omega^2/\omega_n^2) = \begin{cases} -180^{\circ} & \xi \ge 0 \\ +180^{\circ} & \xi < 0 \end{cases} & \omega \gg \omega_n \end{cases}$$



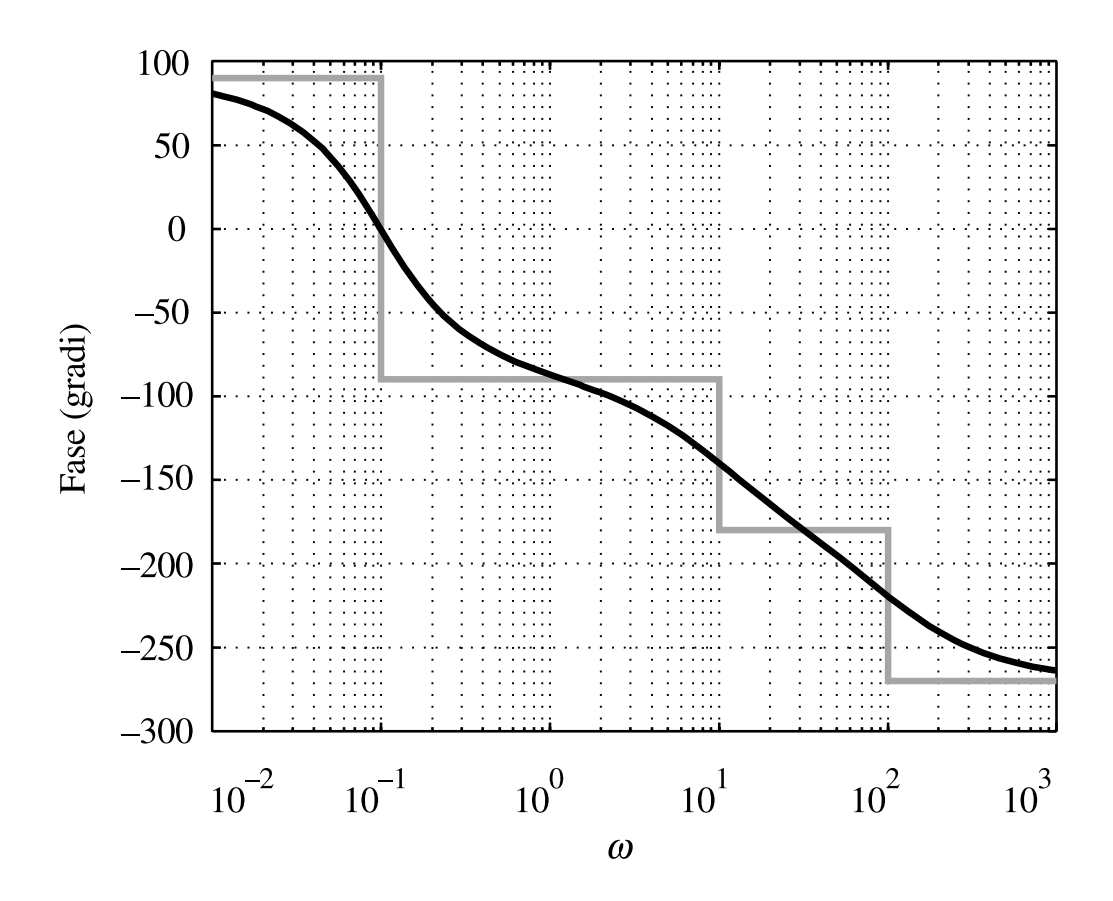
- Tracciamento del diagramma asintotico della fase
  - \* somma dei diagrammi associati ai singoli fattori
  - \* tracciamento diretto

```
si parte dai fattori \mu e 1/(j\omega)^g (ordinata \arg \mu - g90^\circ)
```

alle pulsazioni  $1/|\tau_i|$  o  $1/|T_i|$  l'ordinata aumenta ( $\tau_i>0$  e  $T_i<0$ ) o diminuisce ( $\tau_i<0$  e  $T_i>0$ ) di  $90^\circ$ 

alle pulsazioni naturali  $\alpha_{ni}$  o  $\omega_{ni}$  l'ordinata aumenta ( $\zeta_i \geq 0$  e  $\xi_i < 0$ ) o diminuisce ( $\zeta_i < 0$  e  $\xi_i \geq 0$ ) di  $180^\circ$ 

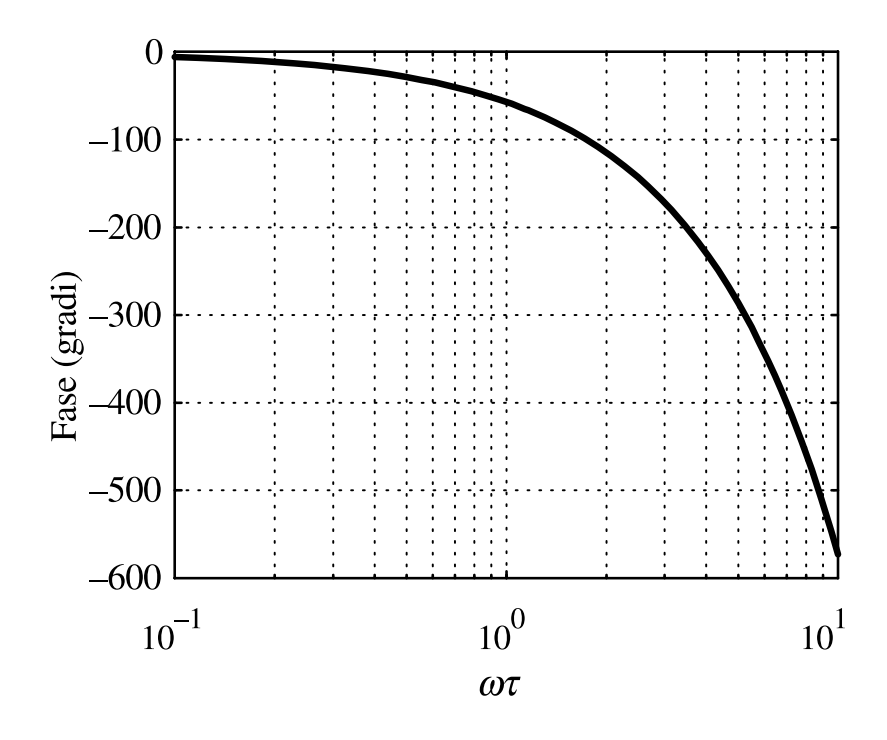
## • Esempio (precedente)



## Ritardo di tempo

$$G(s) = e^{-\tau s}$$
  $\tau > 0$  
$$|G(j\omega)|_{\text{dB}} = 0 \qquad \arg G(j\omega) = -\omega \tau 180/\pi$$

### \* diagramma della fase



#### Sistemi a sfasamento minimo

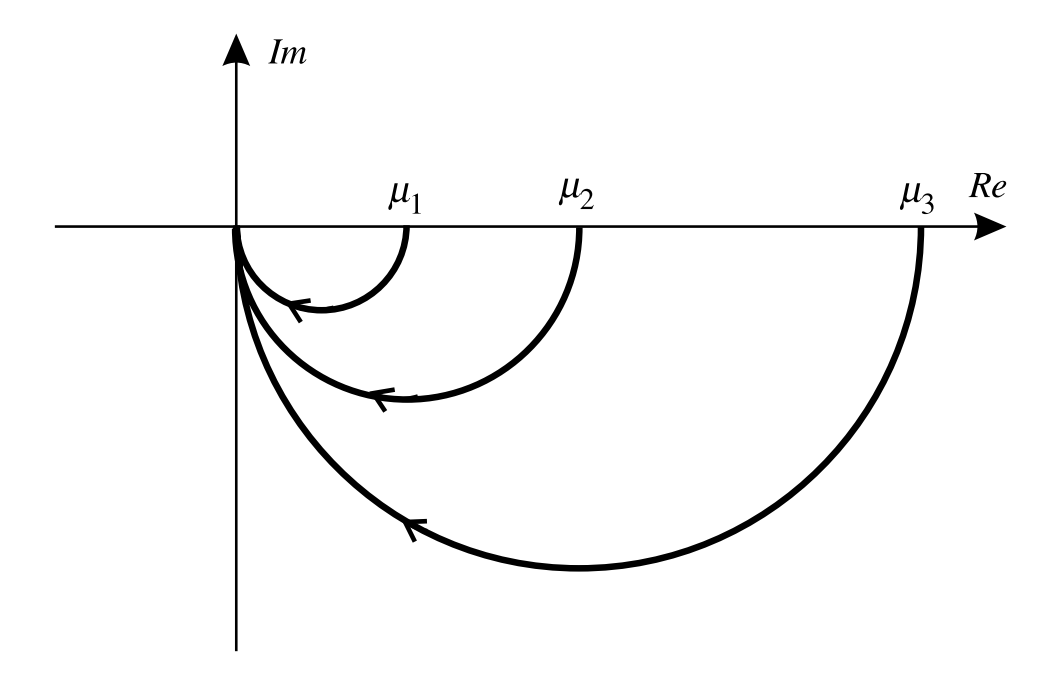
- G(s) a fase minima: tutti i poli e gli zeri hanno parte reale negativa o nulla, e non sono presenti ritardi di tempo
  - ★ diagramma di Bode della fase dedotto dalla conoscenza del diagramma di Bode del modulo: cambio di pendenza in diminuzione (in aumento) ⇒ contributo angolare di ritardo (anticipo) dovuto a poli (zeri)

## **DIAGRAMMI POLARI**

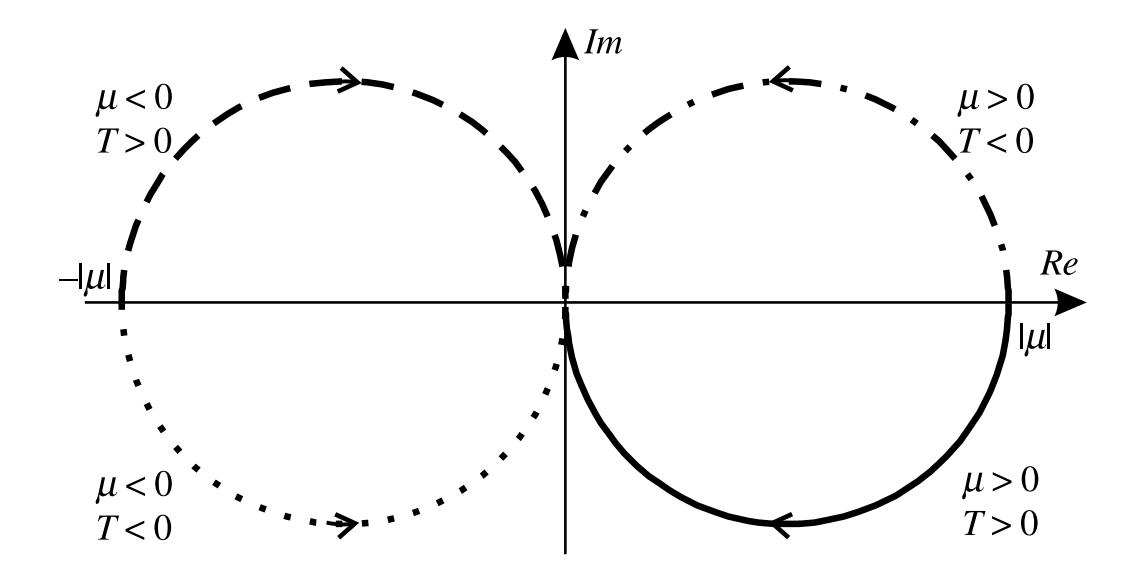
- Rappresentazione grafica alternativa della risposta in frequenza nel piano complesso
  - $\star$ immagine attraverso G(s) del semiasse immaginario non negativo
  - \* tracciamento per punti, a partire dai diagrammi di Bode o con l'ausilio di un mezzo di calcolo

$$G(s) = \frac{\mu}{1 + Ts}$$

 $\star\,$  diagramma polare per  $\mu=\mu_1,$   $\mu=\mu_2=2\mu_1$  e  $\mu=\mu_3=4\mu_1$ 

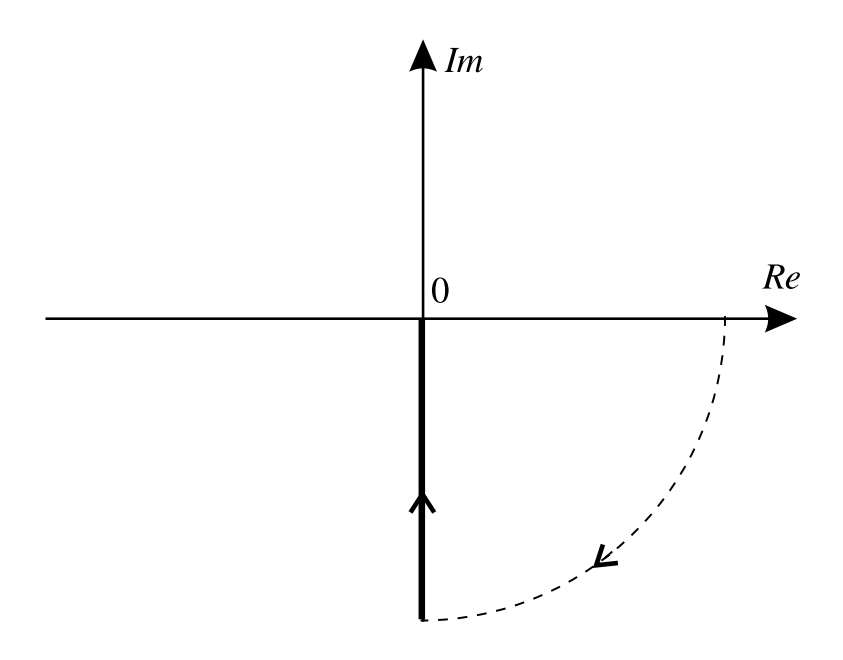


 $\star\,$  diagramma polare per diverse combinazioni di segno di  $\mu$  e T

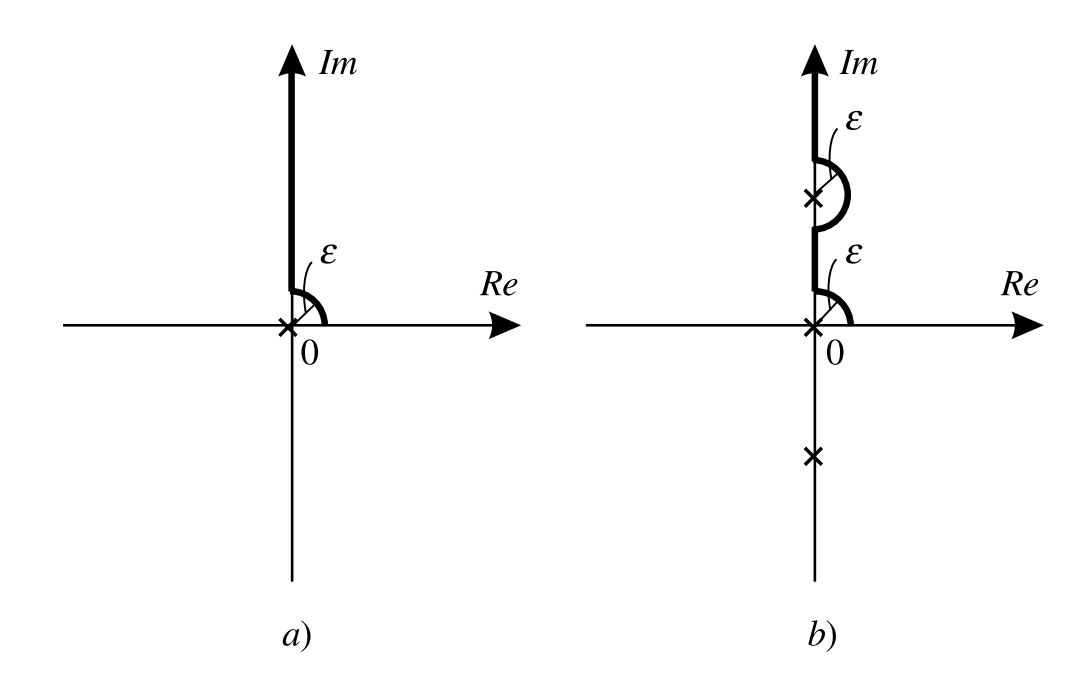


• Esempio: integratore

$$G(s) = \frac{1}{s}$$

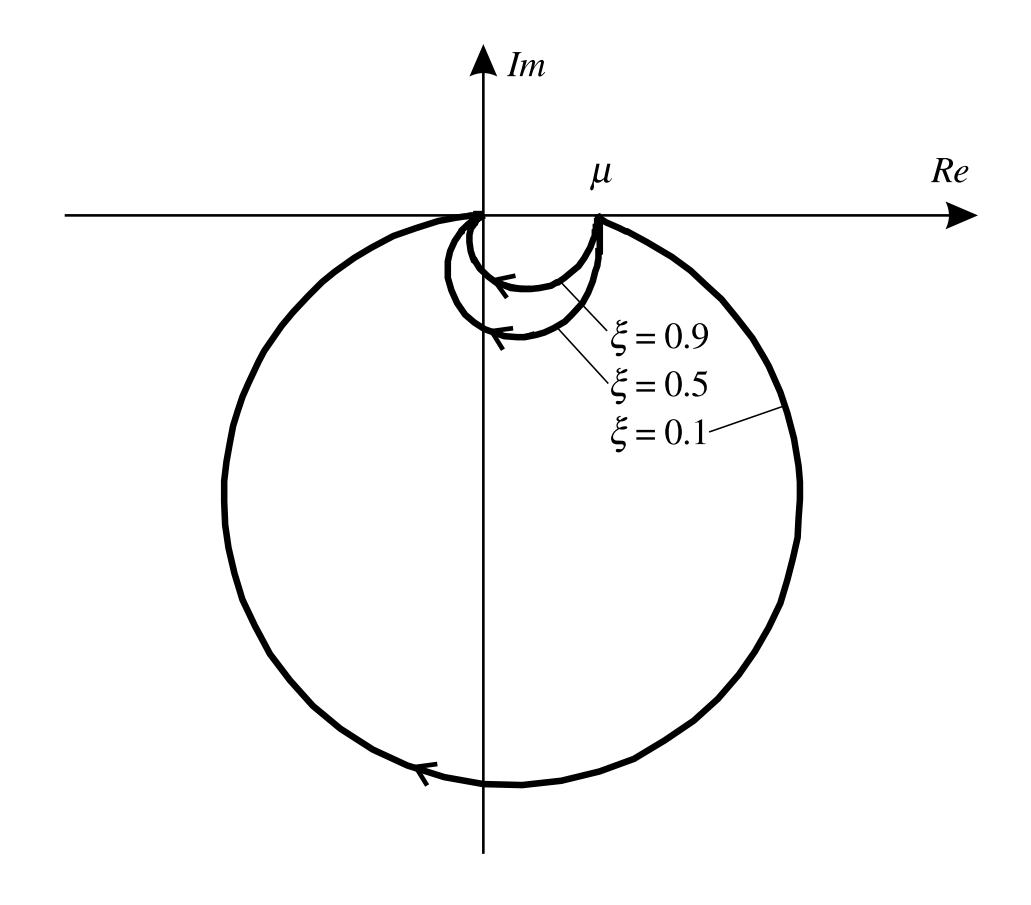


- G(s) con poli sull'asse immaginario
  - $\star\,$  diagramma polare connesso: immagine dei punti  $j\bar{\omega}+\epsilon e^{j\theta},$   $\theta\in(-\pi/2,\pi/2),\,\epsilon$  infinitesimo

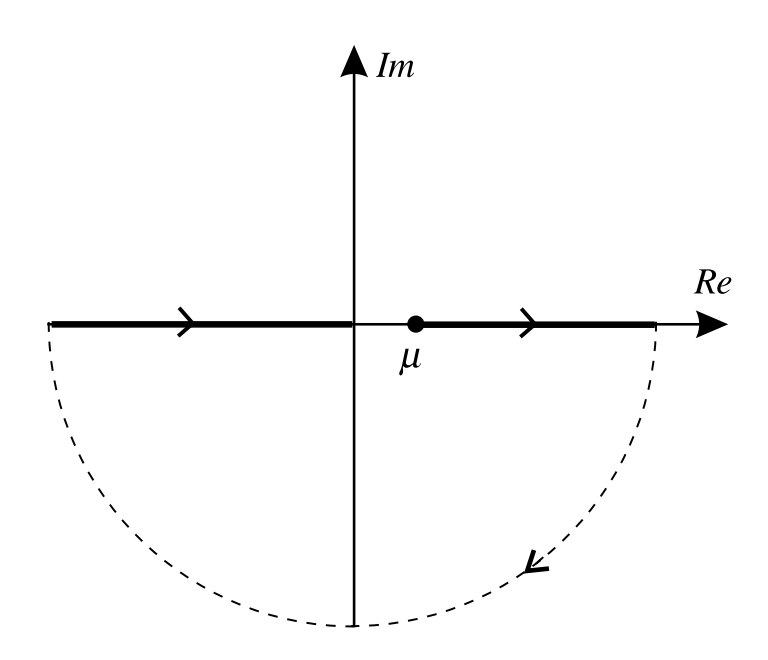


$$G(s) = \frac{\mu}{1 + 2\xi s/\omega_n + s^2/\omega_n^2}$$

 $\star\,$  diagramma polare per  $\mu>0$  e  $\xi>0$ 



 $\star\,$  diagramma polare per  $\mu>0$  e  $\xi=0$ 

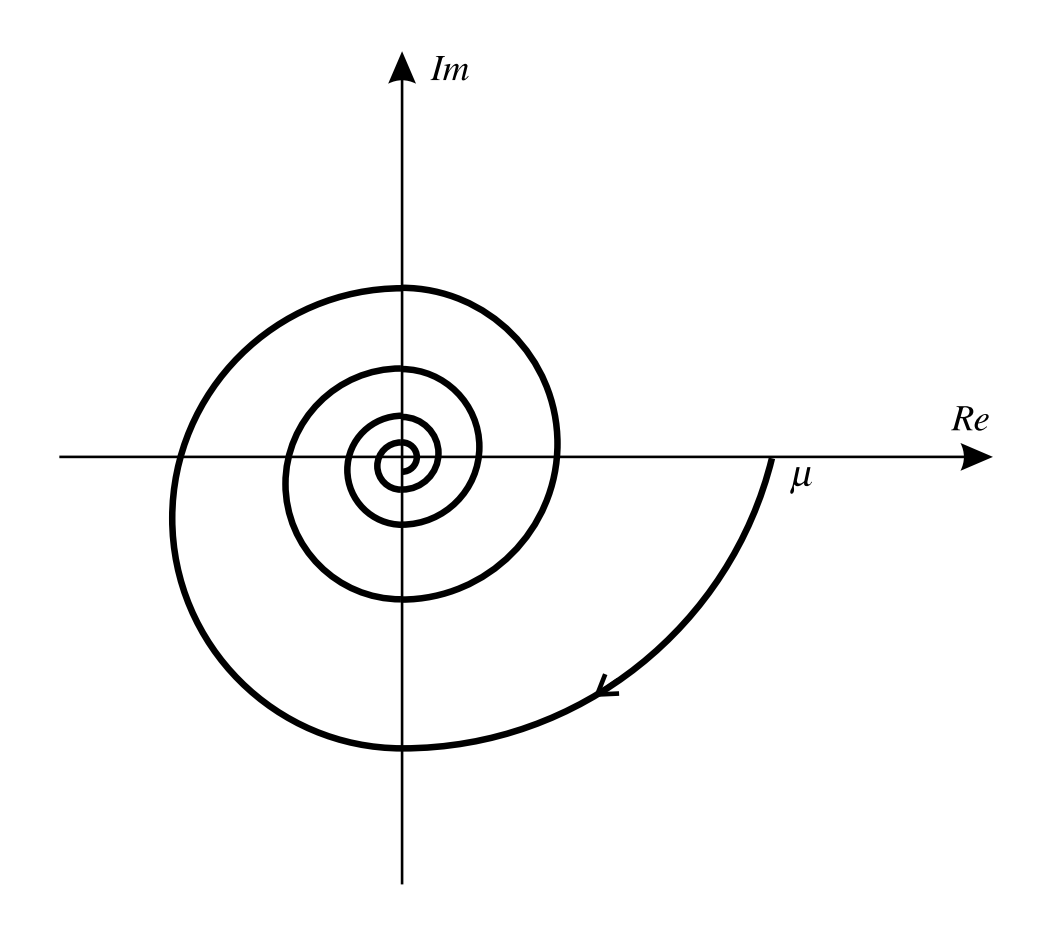


• Esempio: ritardo di tempo

$$G(s) = e^{-\tau s}$$

- \* diagramma polare: circonferenza di raggio unitario percorsa un numero infinito di volte in senso orario a partire dal semiasse reale positivo
- Esempio

$$G(s) = \frac{\mu}{1 + Ts} e^{-\tau s} \qquad \mu, T > 0$$



#### AZIONE FILTRANTE DEI SISTEMI DINAMICI

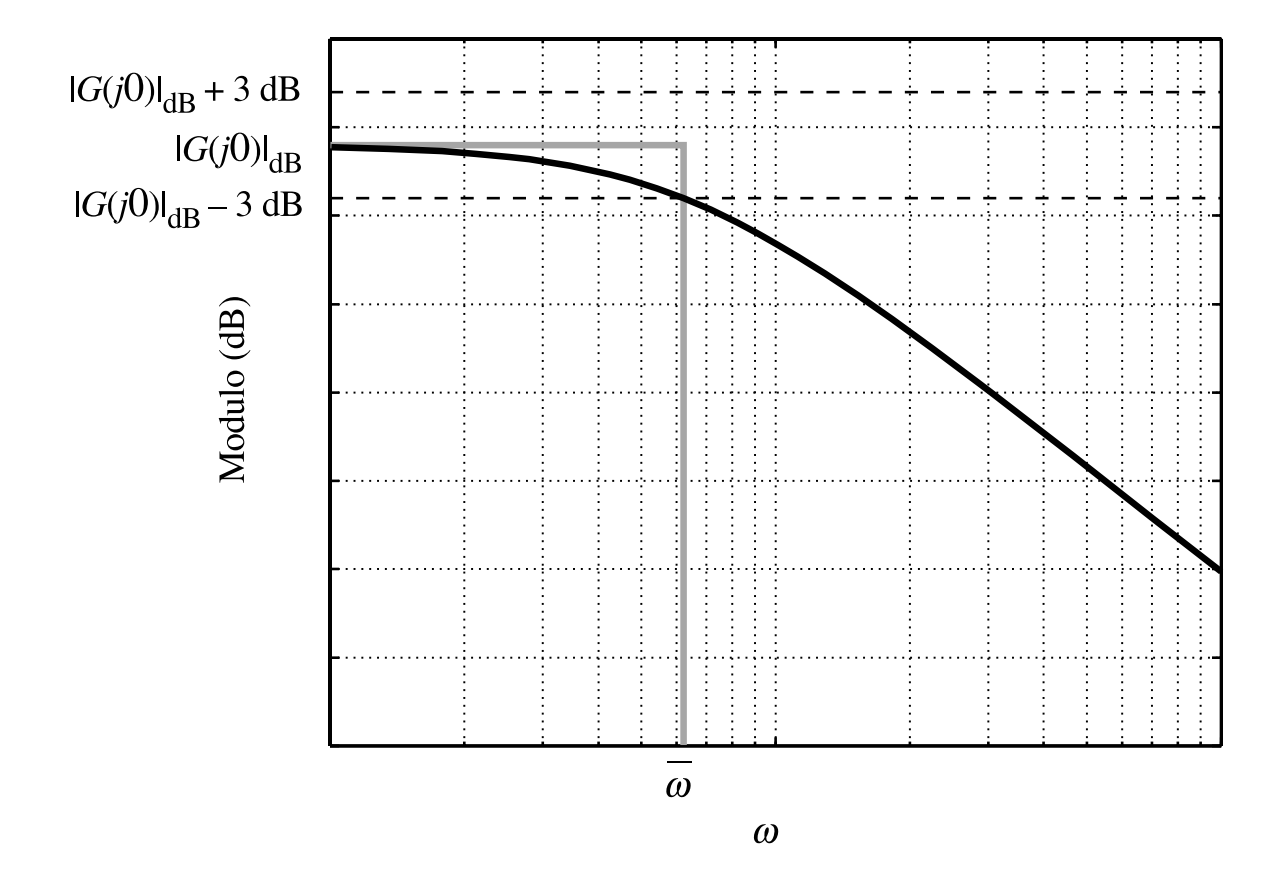
- Segnale di ingresso, dotato di serie o trasformata di Fourier
  - \* sistema amplifica (attenua) e sfasa le armoniche presenti nel segnale (comportamento da filtro)
  - \* classificazione in relazione alle caratteristiche filtranti

#### Filtri passa-basso

- \* lasciano passare inalterate (filtri ideali), o al più amplificate di un valore costante, unicamente le armoniche con pulsazione inferiore o uguale a un dato valore  $\bar{\omega}$  ed eliminano le armoniche con pulsazione maggiore di  $\bar{\omega}$
- Filtro reale passa-basso

$$\begin{cases} \frac{1}{\sqrt{2}} \le \frac{|G(j\omega)|}{|G(j0)|} \le \sqrt{2} & \omega \le \bar{\omega} \\ \frac{|G(j\omega)|}{|G(j0)|} \le \frac{1}{\sqrt{2}} & \omega > \bar{\omega} \end{cases}$$

 $\star$  banda passante  $[0, \bar{\omega}]$ 



$$G(s) = \frac{\mu}{1 + Ts} \qquad \mu, T > 0$$

- $\star$  filtro passa-basso con banda passante [0,1/T]
- $\star$  risposta allo scalino tanto più veloce quanto più piccolo è T, alias quanto più grande è la banda passante (ampiezza banda  $\Leftrightarrow$  velocità del sistema)

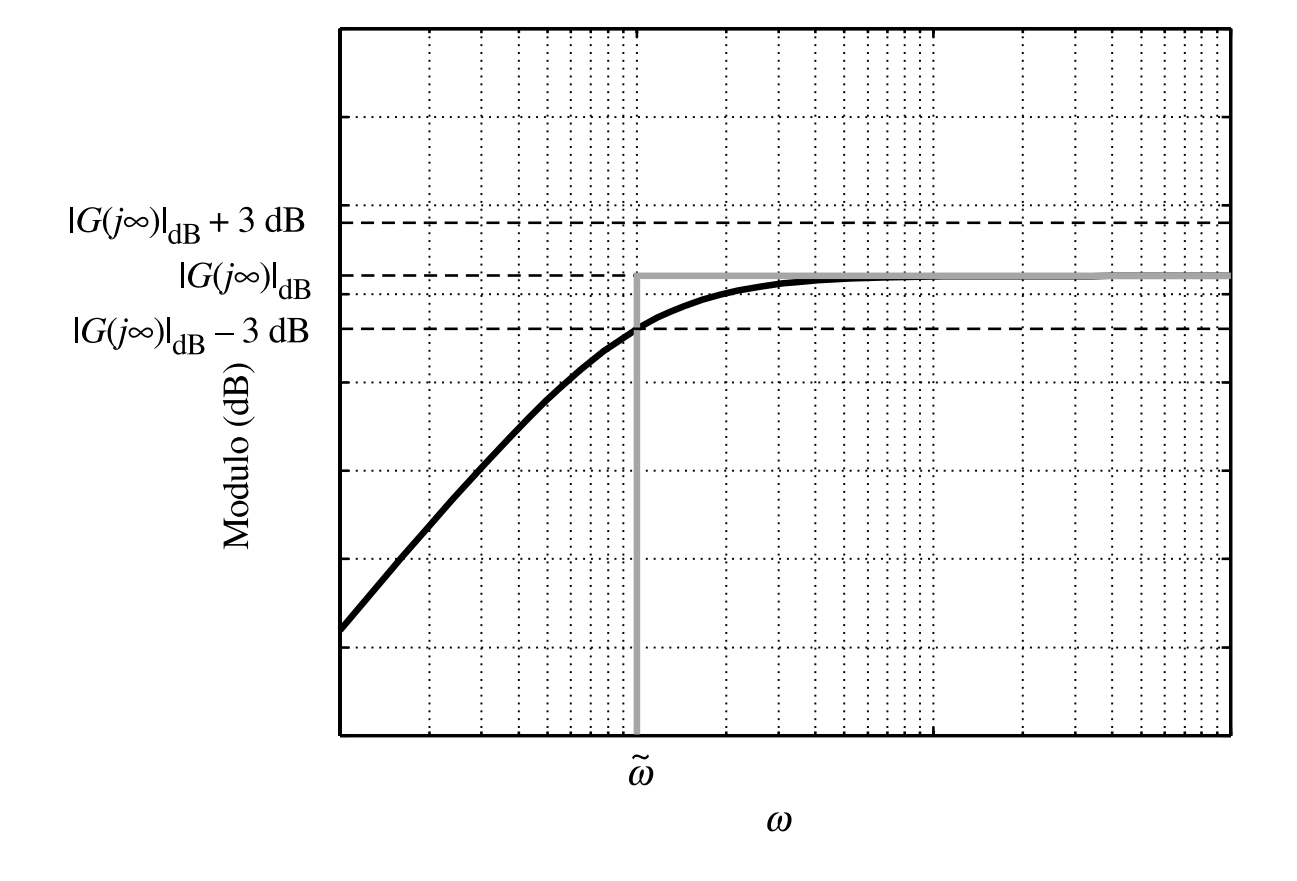
# Altri tipi di filtro

- Filtri passa-alto
  - $\star$  lasciano passare inalterate (filtri ideali), o al più amplificate di un valore costante, unicamente le armoniche con pulsazione maggiore o uguale a un dato valore  $\bar{\omega}$  ed eliminano le armoniche con pulsazione minore di  $\bar{\omega}$

#### • Filtro reale passa-alto

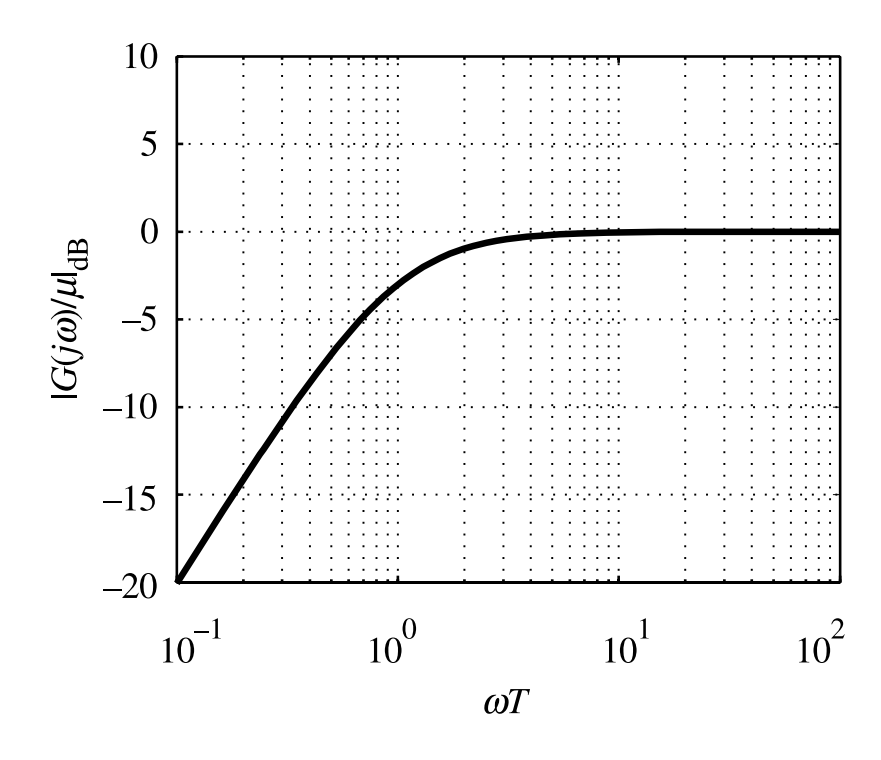
$$\begin{cases} \frac{|G(j\omega)|}{|G(j0)|} \le \frac{1}{\sqrt{2}} & \omega < \bar{\omega} \\ \frac{1}{\sqrt{2}} \le \frac{|G(j\omega)|}{|G(j0)|} \le \sqrt{2} & \omega \ge \bar{\omega} \end{cases}$$

## $\star$ banda passante $[\bar{\omega}, \infty)$



$$G(s) = \frac{\mu s}{1 + Ts} \qquad T > 0$$

 $\star~$  filtro passa-alto con banda passante  $[1/T,\infty)$ 



- Filtri passa-banda
  - \* lasciano passare unicamente le armoniche con pulsazione compresa in un intervallo  $[\omega_1, \omega_2]$  (banda passante)
- Filtri arresta-banda
  - \* bloccano unicamente le armoniche con pulsazione compresa in un intervallo  $[\omega_1,\omega_2]$  (banda passante:  $[0,\omega_1)\cup(\omega_2,\infty)$ )

- Filtri a spillo (*notch filters*)
  - $\star~$  filtri arresta-banda con banda passante  $[0,\infty)-\{\hat{\omega}\}$
  - ⋆ esempio

$$G(s) = \frac{s^2 + 1}{s^2 + \sqrt{2}s + 1}$$

